

## بررسی خصوصیات آنزیم پراکسیداز و تهیه نانوذره پروتئینی از آن با روش محاسباتی و آزمایشگاهی

شیما فولادبند<sup>۱</sup>، پریناز قدم<sup>۲\*</sup>، محبوبه ضرابی<sup>۳</sup>

تاریخ دریافت: ۱۳۹۸/۴/۲۶

تاریخ پذیرش: ۱۳۹۸/۹/۱۶

### چکیده

ساختارهای نانوپروتئینی می‌توانند توسط توانایی ذاتی خودتجمعی مولکول‌ها تشکیل شوند که این توانایی می‌تواند به وسیلهٔ حدواسط‌ها اصلاح گردد. در میان عوامل خودتجمعی ذاتی پروتئین‌ها، هیدروفوبیسیته مهمترین عامل است. مولکول‌ها یحدواسطی مانند گلوتارآلدهید می‌تواند باعث تجمع پروتئینی و تشکیل نانوذره گردد. در این پژوهش از نرم افزار Aggrescan ۳D برای بررسی پروتئین‌هایی که خاصیت خودتجمعی دارند استفاده شد و به این ترتیب آنزیم پراکسیداز با توانایی خودتجمعی انتخاب گردید و با استفاده از گلوتارآلدهید این آنزیم به نانوآنزیم تبدیل شد. آنالیزهای FESM و DLS نشان دادند که اندازه متوسط نانوآنزیم ۵۰۰ نانومتر می‌باشد فعالیت نانوآنزیم نسبت به فعالیت آنزیم مونومر در دمای بهینه ۲۰ درجه سلسیوس و pH بهینه ۷ کاهش یافته است. با استفاده از همولوژی مدلینگ ساختار PDB دو آنزیم پراکسیداز به دست آمد و با داکینگ، اتصال گلوتارآلدهید به این دو بررسی شد. با استفاده از نرم افزار LigPlot مشاهده شد آمینو اسیدها با پیوند هیدروژنی به گلوتارآلدهید متصل شده‌اند و برای بررسی کاهش فعالیت نانوآنزیم، اتصالات جایگاه فعال با سرور COACH بررسی گردید و مشاهده شد که گلوتارآلدهید به آمینو اسیدهای جایگاه فعال نانوآنزیم متصل شده است. شبیه سازی دینامیک مولکولی نشان داد که آنزیم مونومر و نانوآنزیم در دمای ۳۰ درجه سلسیوس و زمان ۵ نانوثانیه پایدار هستند.

**واژه‌های کلیدی:** ابزارهای زیست محاسباتی، تجمع پذیری، نانوآنزیم پراکسیداز.

### مقدمه

نانوفناوری توانایی ساخت، طراحی و دستکاری ساختار در ابعاد یک تا ۵۰۰ نانومتر است ولی معمولاً نانوذرات زیستی کمتر از ۱۰۰ نانومتر می‌باشند (Klaessig *et al.*, 2011). در نانوفناوری با استفاده از پروتئین‌هایی که خاصیت خود تجمع‌پذیری

۱- کارشناسی ارشد، گروه بیوتکنولوژی، دانشکده علوم زیستی، دانشگاه الزهرا (س)، تهران، ایران

۲- دانشیار، گروه بیوتکنولوژی، دانشکده علوم زیستی، دانشگاه الزهرا (س)، تهران، ایران

(نویسنده مسئول: pghadam@alzahra.ac.ir)

۳- استادیار، گروه بیوتکنولوژی، دانشکده علوم زیستی، دانشگاه الزهرا (س)، تهران، ایران

دارند، نانوپروتئین‌ها ساخته می‌شوند. خودتجمعی ساختارهای پروتئینی توسط عوامل محیطی مانند pH، دما، قدرت یونی و نوع حلال تحت تاثیر قرار می‌گیرد، بنابراین برای تجمع پذیری پروتئین‌ها باید برهمکنش‌های پروتئین-پروتئین را مورد بررسی قرار داد (Luo *et al.*, 2016).

در خودتجمعی پروتئین‌ها چندین پیوند ضعیف غیرکووالانسی مانند یونی، اندروالسی، هیدروژنی، هیدروفوبی و π-stacking (Yan et al., 2010) که هیدروفوبیسته نقش مهمی در این مورد بازی می‌کند دخالت دارند (Amdursky *et al.*, 2010). از جمله ویژگی‌های دیگری که باعث تجمع پذیری پروتئین‌ها می‌شود، ساختارهای متقارن پروتئین‌ها و وجود پیتیدها می‌باشد (Luo *et al.*, 2016). خودتجمعی پروتئین‌های مونومریک، الیگومرها با دمین‌های متقارن مانند خطی، دی‌هیدرال حلقوی، مکعبی و غیره ایجاد می‌کند و نظم هندسی خاص بین محورهای تقارن دو پروتئین الیگومریک، امکان خودتجمعی پروتئین‌ها را فراهم می‌کند. ساختارهای ثانوی مانند آلفا هلیکس و صفحات بتا (Feverati *et al.*, 2012) و موتیف های آمیلوئیدی و coil (Selkoe, 2003) نیز می‌توانند سبب تجمع پروتئین‌ها شوند.

تجمع پذیری پروتئین‌ها به کمک واسطه‌هایی مانند آپتامرهای RNA یا DNA (Liu *et al.*, 2005) نیز صورت می‌گیرد. کثوردینانسیون فلزی و میانکنش‌های الکترواستاتیک (Luo *et al.*, 2016) و استفاده از اتصال دهنده عرضی گلوتارآلدهید (Jahanshahi & Babaei., 2008) می‌توانند به تجمع پذیری پروتئین‌ها کمک کنند.

امروزه ابزارهای زیست‌محاسباتی مانند AGGRESCAN و AGGRESCAN 3D، TARTAGLIA، PASTA، PAGE در پیش‌گویی خودتجمعی پروتئین‌ها استفاده می‌شود.

از تجمع پروتئین‌ها در حسگرهای زیستی (Qi *et al.*, 2004)، طراحی بیوکاتالیزورها (Ma *et al.*, 2015) و زیست پزشکی و درمان استفاده می‌شود (Luo *et al.*, 2016).

با استفاده از روش‌های مختلفی از جمله حلال زدایی (desolvation)، جداسازی فاز ته نشین (Marty *et al.*, 1978)، شده Scheffel *et al.*, 1972) (Emulsion)، امولسیون (Elzoghby., 2013) (Coacervation-phase separation)، میسل معکوس (Borges & (Layer-by-Layer(LBL)، پوشش دهی لایه به لایه (Elzoghby., 2013)) (Reverse phase microemulsion (Cal & Salahub., 2010, Patel *et al.*, 2013) (self-assembly)، خودسامانی (Mano., 2014) 2009). می‌توان نانو ذره سنتز کرد (nano spray).

در این مقاله برای انتخاب پروتئین مناسب برای تولید نانوذره از بین ابزارهای زیست‌محاسباتی، AGRESCAN 3D که بر اساس هیدروفوبیسته کار می‌کند، انتخاب گردید. سپس پروتئین‌هایی که دارای توانایی خودتجمعی بودند، مشخص شدند. در این نرم افزار امتیاز خودتجمعی پروتئین‌هایی مانند S-layer و آمیلوئیدها بالای یک به دست آمد که پروتئین‌هایی با امتیاز بالای یک، خودتجمعی مناسبی دارند. پس از بررسی‌ها از آنزیم پراکسیداز استفاده شد و این آنزیم با اتصالات عرضی

گلوتارآلدهید (Liu *et al.*, 2005) به نانوآنزیم تبدیل شد؛ سپس با استفاده از ابزارهای آزمایشگاهی و زیست محاسباتی خصوصیات بیوشیمیایی و فعالیت آنزیم و نانو آنزیم مورد بررسی قرار گرفت.

## مواد و روش ها

### مطالعات محاسباتی آنزیم

**بررسی تجمع پذیری پروتئین:** با استفاده از سرور AGGRESCAN تمایل تجمع پذیری هر آمینو اسید تعیین و خروجی به صورت امتیاز برای هر یک از پروتئین‌ها بر اساس هیدروفوبیسته آن‌ها تعریف می‌شود. مجموعه‌ای از پروتئین‌ها که در مقالات دارای توانایی تجمع پذیری هستند، با استفاده از این سرور بررسی شدند. در نهایت آنزیم پراکسیداز به عنوان پروتئین موردنظر انتخاب گردید.

**جست و جو ساختار سوم آنزیم پراکسیداز:** با توجه به اینکه آنزیم پراکسیداز به صورت خالص خریداری شد و اطلاعاتی درباره وزن مولکولی دقیق و  $pI$  آنزیم در دسترس نبود، بنابراین با استفاده از وزن مولکولی آنزیم که حدوداً در سایت سیگما ۳۰ کیلو دالتون گزارش شده بود، دو ایزوآنزیم این آنزیم با کدهای Uniprot (الف) P59121 با وزن مولکولی  $\frac{33}{7}$  کیلو دالتون و  $\frac{9}{1} pI$  (قلیایی) و (ب) P80679 با وزن مولکولی  $\frac{31}{9}$  کیلو دالتون و  $\frac{4}{7} pI$  (اسیدی) انتخاب شدند، که هر دو این کدها متعلق به گیاه *Armoracia rusticana* می‌باشند. با توجه به این که برای انجام مطالعات محاسباتی کد PDB آنزیم مورد نیاز است و این دو آنزیم قادر کد PDB بودند، برای هر دو، با استفاده از روش همولوژی مدلینگ و نرم افزار مدلر (Modeller) مدل‌سازی انجام شد.

در آزمایشگاه از گلوتارآلدهید به عنوان اتصال دهنده عرضی برای اتصال مولکول‌های آنزیم و سنتز نانوذره استفاده شد. با استفاده از نرم افزار اتو داک (Auto Dock) داکینگ بین مدل‌های پروتئینی ساخته شده و گلوتارآلدهید انجام گردید و با کمک برنامه لیگ پلات (LigPlot) آمینو اسیدهای متصل به گلوتارآلدهید برای هر یک از مدل‌های ساخته شده، مشاهده گردید.

**پیش‌گویی آمینو اسیدهای جایگاه فعال مدل‌های ساخته شده:** به کمک سرور کوچ (COACH) آمینو اسیدهای احتمالی در جایگاه فعال مدل‌های ساخته شده پیش‌گویی شد.

**بررسی محاسبات شبیه‌سازی دینامیک مولکولی:** شبیه‌سازی با استفاده از نرم افزار گرومکس (Gromacs) برای آنزیم پراکسیداز در دمای ۳۰ درجه سلسیوس و به مدت ۵ نانوثانیه صورت گرفت. نمودارهای RMSF، RMSD، شعاع ژیراسیون و انرژی پتانسیل برای مدل‌های ساخته شده پروتئینی و کمپلکس پروتئین و گلوتارآلدهید مورد بررسی قرار گرفتند.

## مطالعات آزمایشگاهی آنزیم

**سنچش فعالیت آنزیم پراکسیداز:** برای سنجش فعالیت آنزیم، محلول پتاسیم فسفات مونوبازیک ۱ مولار، محلول پتاسیم فسفات دی بازیک ۱ مولار(بافر پتاسیم فسفat ۶ pH و دمای ۲۰ درجه سلسیوس)، محلول هیدروژن پراکسید ۵ درصد (v/v) و محلول پیروگالول ۵ درصد(v/w) و محلول پراکسیداز U/ml ۰/۰ در بافر پتاسیم فسفات (بلافاصله قبل از استفاده) (Sigma-Aldrich) تهیه شد.

برای سنجش فعالیت آنزیم ۵ میلی لیتر آب دیونیزه، ۵/۰ میلی لیتر بافر پتاسیم فسفات، ۸/۰ میلی لیتر محلول هیدروژن پراکسید و ۱۶/۰ میلی لیتر پیروگالول به آرامی مخلوط شد و در دمای ۲۰ درجه سلسیوس به مدت ۱۰ دقیقه نگه داشته شدند. سپس ۵/۰ میلی لیتر محلول پراکسیداز در همان دما اضافه و به آرامی پیپتاژ شد و افزایش جذب برای ۳ دقیقه با فواصل ۳۰ ثانیه در طول موج ۴۲۰ نانومتر خوانده شد. تعریف فعالیت آنزیم پراکسیداز عبارت است از: یک واحد از پراکسیداز باعث ایجاد ۱ میلی گرم پرپروگالین (Pyrogallol) از پیروگالول (Purpurogallin) در مدت زمان ۲۰ ثانیه در ۶ pH در دمای ۲۰ درجه سلسیوس می‌شود که تغییر جذب در مدت زمان ۲۰ ثانیه باید ۰/۱۸ تا ۰/۳۴ باشد(Lenga 1988).

**بررسی عملکرد دمایی آنزیم پراکسیداز:** برای بررسی اثر دما بر عملکرد آنزیم پراکسیداز در هر یک از دماهای ۱۵، ۲۵، ۴۰ و ۶۰ درجه سلسیوس محلول سنجش آنزیمی به مدت ۳۰ دقیقه قرار گرفت و سپس آنزیم به محلول سنجش در هر یک از این دماها اضافه شد.

**بررسی عملکرد آنزیم در دمای ۸۰ درجه سلسیوس:** به منظور بررسی پایداری فعالیت آنزیم پراکسیداز، آنزیم به مدت ۳۰ دقیقه، ۱/۵، ۱ و ۲ ساعت در دمای ۸۰ درجه سلسیوس قرار گرفت و سپس فعالیت آن سنجیده شد.

**بررسی عملکرد آنزیم در pH های مختلف:** عملکرد آنزیم پس از ۳۰ دقیقه قرارگیری در دمای بهینه ۲۰ درجه سلسیوس و pH های ۲، ۴، ۶ و ۸ که با استفاده از بافر بربیتون-رابینسون تهیه شده بود، مورد بررسی قرار گرفت. برای تهیه این بافر از بوریک اسید (۱ مولار)، فسفریک اسید (۱ مولار) و استیک اسید (۱ مولار) استفاده شد که هر کدام به غلظت نهایی (۰/۰۴ مولار) رسیدند.

**سنتر نانوآنزیم پراکسیداز:** برای سنتر نانوذره پروتئینی ابتدا با استفاده از ۰/۱ NaOH pH ۷/۵ یا ۸ تنظیم شد، سپس ۰/۰۰۱ گرم از آنزیم برداشته و در ۵/۰ میلی لیتر آب دیونیزه با ۷/۵ pH یا ۸ حل گردید، سپس ۲ میلی لیتر اتانول توسط پمپ پریستالتیک با سرعت ۰/۲۵ ml/min، به محلول اضافه گردید. به محلول در حال همزدن و در دمای ۲۴ میکرولیتر گلوتارآلدهید ۸ درصد اضافه گردید و به مدت ۲۴ ساعت در حمام یخ قرار داده شد. بعد از گذشت

ساعت ۰/۰۵ گرم از L-Cys به محلول اضافه و محلول برای ۴ ساعت در یخچال هم زده شد. سپس محلول برای ۱۰ دقیقه با

۱۳۰۰۰ سانتریفوژ گردید و بعد از دو بار شست و شو فعالیت نانو آنزیم ایجاد شده سنجیده شد (Liu *et al.*, 2005).

**ارزیابی دمای بھینه نانو آنزیم پراکسیداز:** برای سنجش فعالیت آنزیم، محلول های مورد نیاز برای سنجش فعالیت

آنزیمی پراکسیداز ۱۰ دقیقه در دمای بھینه ۲۰ درجه سلسیوس قرار داده شدند. در اینجا محلول سنجش بدون نانو آنزیم ۱۰

دقیقه در دماهای ۲۰، ۲۵، ۳۰ و ۴۰ درجه سلسیوس قرار داده شد و سپس نانو آنزیم اضافه گردید و سنجش فعالیت نانو آنزیم با

سه بار تکرار انجام شد.

**ارزیابی pH بھینه نانو آنزیم پراکسیداز:** با استفاده از بافر بربیتون-رابینسون pH های ۲، ۴، ۶ و ۸ تنظیم و بعد از

اضافه کردن آنزیم، نمونه ها به حجم رسانده شدند و سنجش فعالیت آنزیمی در دمای بھینه ۳۰ درجه سلسیوس با ۳ بار تکرار

انجام شد.

**بررسی پایداری فعالیت دمایی نانو ذره پراکسیداز:** برای بررسی عملکرد دمایی، نانو آنزیم به مدت ۳۰ دقیقه در

دماهای ۱۵، ۲۵، ۴۰، ۶۰ و ۸۰ درجه سلسیوس قرار داده شد، سپس سنجش فعالیت آنزیمی مورد بررسی قرار گرفت.

**بررسی عملکرد نانو آنزیم پراکسیداز در pH های مختلف:** برای بررسی عملکرد نانو آنزیم پراکسیداز در pH های

مختلف از بافر بربیتون-رابینسون استفاده شد. به مدت ۳۰ دقیقه نانو آنزیم در دمای بھینه ۳۰ درجه سانتی گراد pH های ۲، ۴،

۶ و ۸ قرار گرفت و سپس سنجش فعالیت آنزیمی انجام شد.

## نتایج و بحث

برای بررسی تجمع پروتئین ها از سرور AGGRESCAN 3D استفاده شد. امتیاز تجمع پذیری پروتئین های نمونه در

مقاله (Luo *et al.*, 2016) در جدول ۱ مشاهده می شود.

جدول ۱: امتیاز بندی تجمع پذیری بر اساس هیدروفوبیسیته پروتئین های نمونه در مقاله (Luo *et al.*, 2016)

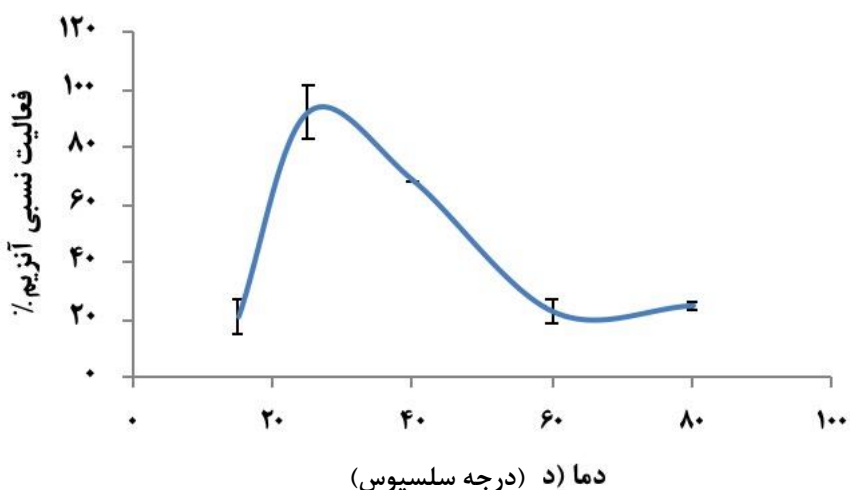
توسط سرور Aggescan 3D

Protein	PDB code	Score of hydrophobicity
Amyloid	2MXU	2.76
β – clamp	2POL	1.42
Trp RNA-binding attenuation protein	1QAW	1.27
Bacteriophage tail	4JPP	1.99
α – hemolysin pore complex	7AHL	3.05
Ferritin	1BFR	0.81
S-layer	4UID	1.23

هم چنین با استفاده از این سرور امتیاز تجمع پذیری آنزیم Horseradish peroxidase ۱/۳۳ به دست آمد.

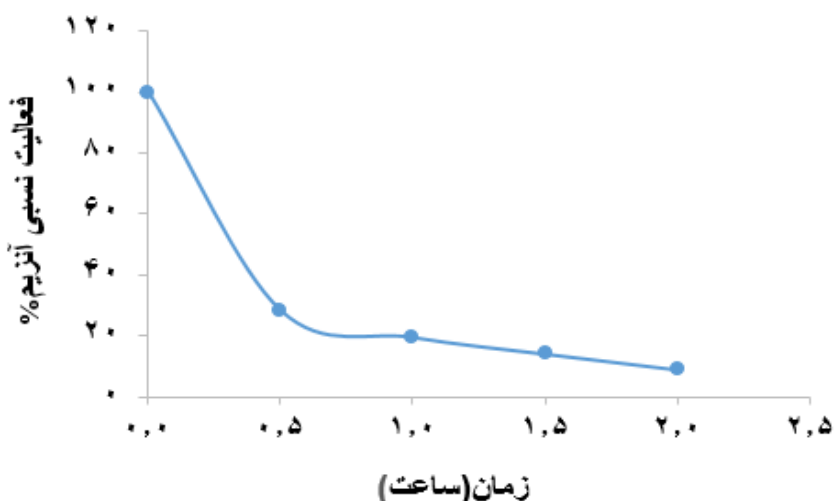
**بررسی ویژگی های بیوشیمیابی قبل و بعد از نانو ذره شدن آنزیم پراکسیداز**

**عملکرد دمایی آنزیم پراکسیداز:** بعد از قرار گرفتن آنزیم در دماهای ۱۵، ۲۵، ۴۰، ۶۰ و ۸۰ درجه سلسیوس به مدت ۳۰ دقیقه نتایج حاصل از فعالیت آنزیم با ۳ بار تکرار در شکل ۱ قابل مشاهده است. در این نمودار فعالیت آنزیم در لحظه صفر بدون تیمار دمایی ۱۰۰ درصد در نظر گرفته شد.



شکل ۱: بررسی پایداری فعالیت آنزیم در دماهای مختلف پس از مدت زمان ۳۰ دقیقه

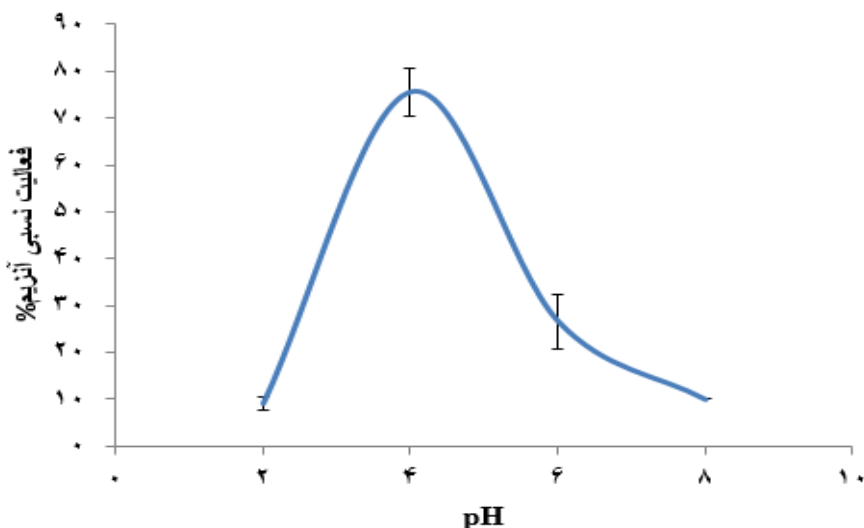
**عملکرد آنزیم پراکسیداز در دمای ۸۰ درجه سلسیوس:** بعد از قرار گرفتن آنزیم به مدت ۳۰ دقیقه، ۱، ۱/۵ و ۲ ساعت در دمای ۸۰ درجه سلسیوس، فعالیت باقیمانده آنزیم سنجش شد(شکل ۲). فعالیت آنزیم در لحظه صفر و بدون تیمار دمایی ۱۰۰ درصد در نظر گرفته شد.



شکل ۲: فعالیت باقیمانده آنزیم پراکسیداز در دمای ۸۰ درجه سانتی گراد طی ۲ ساعت

**بررسی عملکرد آنزیم در pH های مختلف:** بعد از قرار گرفتن آنزیم در pH های ۲، ۴، ۶ و ۸ به مدت

۳۰ دقیقه، فعالیت باقیمانده آنزیم سنجیده شد. فعالیت آنزیم در pH ۶ در لحظه صفر ۱۰۰ درصد در نظر گرفته شد(شکل ۳).

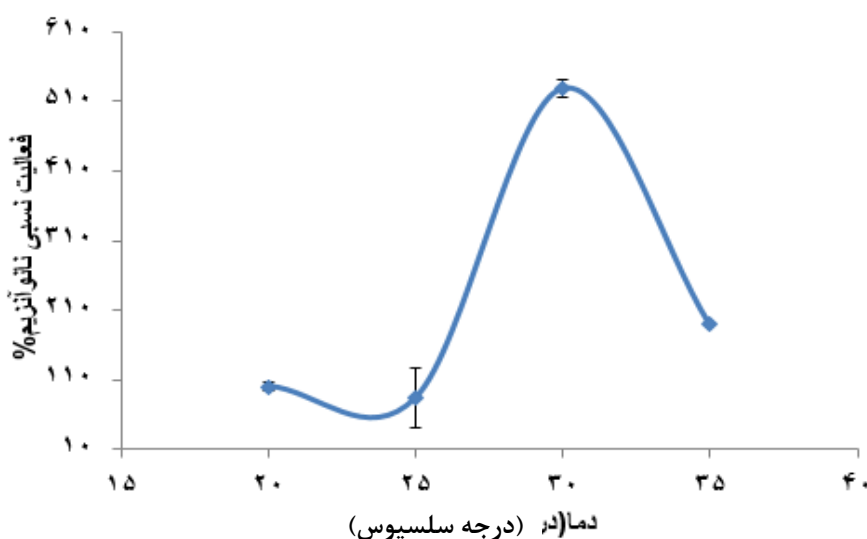


شکل ۳: بررسی پایداری فعالیت آنزیم پس از ۳۰ دقیقه قرارگیری در pH های مختلف

ارزیابی دمای بھینه نانوآنزیم پراکسیداز: بعد از قرار گرفتن محلول سنجش فعالیت آنزیم به مدت ۱۰ دقیقه در

دهماهای ۳۰، ۳۵ و ۴۰ درجه سلسیوس فعالیت آنزیم سنجیده شد. فعالیت آنزیم در لحظه صفر و هنگامی که محلول سنجش

فعالیت آنزیم در دمای ۴۰ درجه سلسیوس قرار گرفت ۱۰۰ درصد در نظر گرفته شد(شکل ۴).

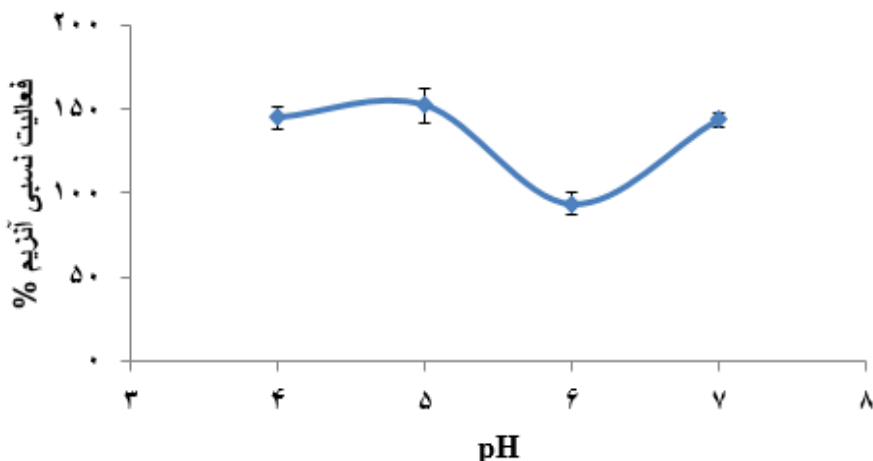


شکل ۴: بررسی دمای بھینه فعالیت نانوآنزیم پراکسیداز

ارزیابی pH بھینه نانو آنزیم پراکسیداز: pH بھینه فعالیت نانوآنزیم پراکسیداز با استفاده از مقادیر مختلف pH بافر

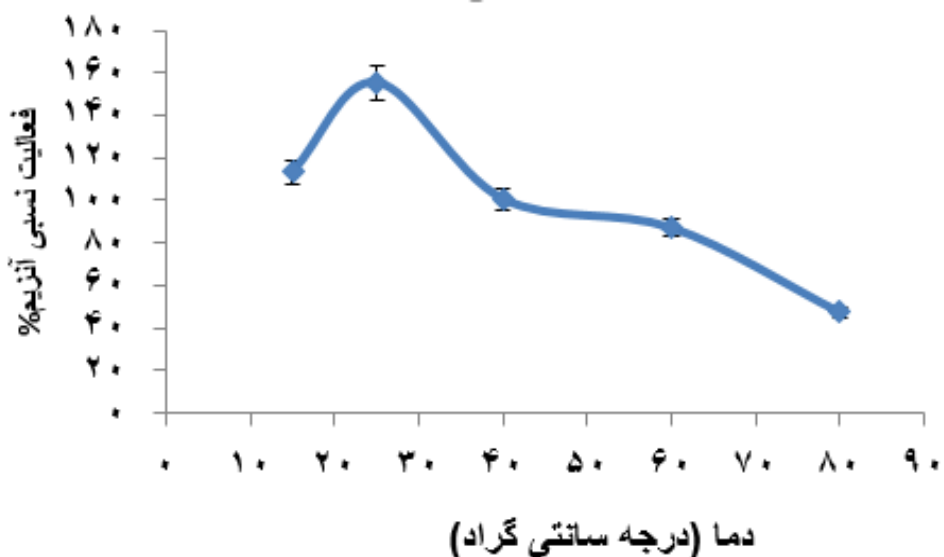
بریتون-رابینسون به جای بافر سنجش با ۶ pH که در روند معمول سنجش آنزیم به کار می رود، تعیین شد. فعالیت نانوآنزیم

در بافر ۶ pH ۱۰۰ درصد در نظر گرفته شد(شکل ۵).



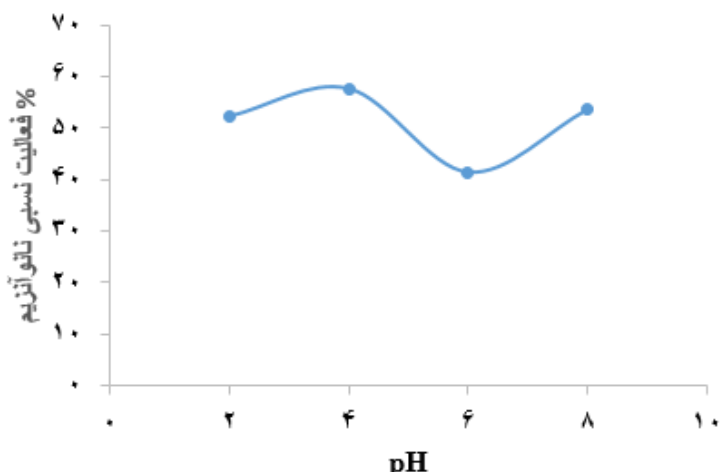
شکل ۵: بررسی pH بینه فعالیت نانوآنزیم پراکسیداز

بررسی پایداری دمایی فعالیت نانوآنزیم پراکسیداز: برای بررسی پایداری دمایی، دماهای ۱۵، ۲۵، ۴۰، ۶۰ و ۸۰ درجه سلسیوس انتخاب شدند. بعد از اینکه نانوآنزیم به مدت ۳۰ دقیقه در هریک از این دماها قرار گرفت، نتایج حاصل از فعالیت نانوآنزیم با سه بار تکرار در شکل ۶ قابل مشاهده است. فعالیت نانوآنزیم در لحظه صفر در دمای ۳۰ درجه سانتی سلسیوس و ۷ pH بدون تیمار دمایی ۱۰۰ درصد در نظر گرفته شد.



شکل ۶: پایداری دمایی نانوآنزیم پراکسیداز پس از قرار گیری در دماهای مختلف به مدت ۳۰ دقیقه

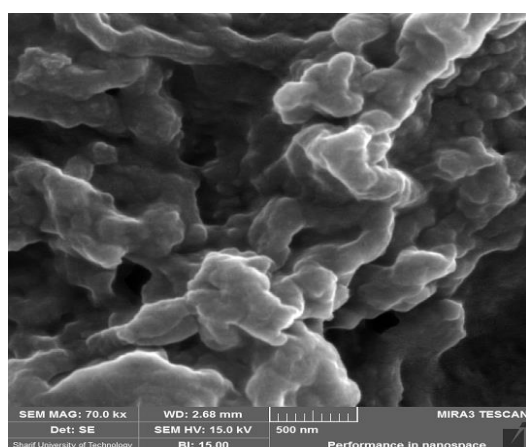
**بررسی پایداری pH فعالیت نانوآنزیم پراکسیداز:** با استفاده از بافر بربیتون-رابینسون نانوآنزیم در pHهای ۲، ۴، ۶ و ۸ به مدت ۳۰ دقیقه قرار گرفت. با استفاده از همین بافر، در pH ۷ فعالیت نانوآنزیم در لحظه صفر محاسبه و ۱۰۰ درصد در نظر گرفته شد(شکل ۷).



شکل ۷: بررسی پایداری فعالیت نانوآنزیم در pHهای مختلف در مدت زمان ۳۰ دقیقه

#### آنالیز نانوساختار پراکسیداز با استفاده از FESEM (Field Emission Scanning Electron Microscope)

با بررسی هایی که توسط میکروسکوپ الکترونی FESEM انجام گردید، مشاهده شد که این نانوذرات می توانند اندازه ای در حدود ۵۰۰ نانومتر داشته باشند(شکل ۸).

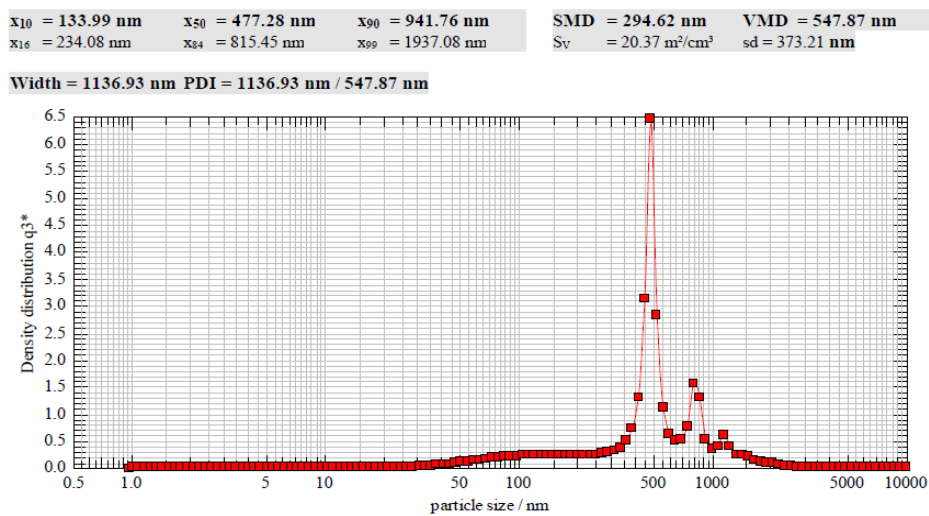


شکل ۸: نتایج حاصل از FESEM نانوآنزیم پراکسیداز

## آنالیز نانوآنزیم پراکسیداز با استفاده از DLS (Dynamic Light Scattering)

مقدار ۵۰ درصد نانوذرات اندازه

ی زیر ۴۷۷/۲۸ نانومتر دارند و دو پیک نشان دهنده پراکندگی اندازه نانوذرات می باشد (شکل ۹).

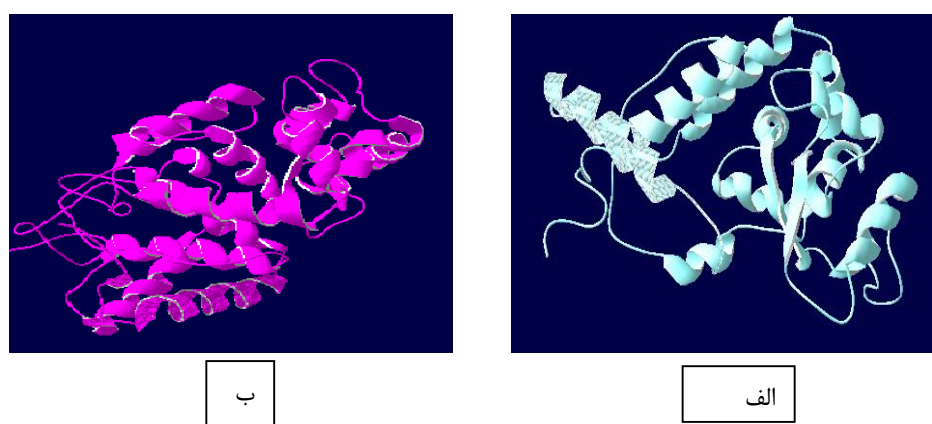


شکل ۹: نتایج حاصل از DLS نانوآنزیم پراکسیدا

بررسی بعضی از خصوصیات آنزیم و نانوآنزیم با استفاده از ابزارهای محاسباتی

مدل سازی آنزیم با استفاده از همولوژی مدلینگ: مدل سازی پروتئین ها با استفاده از برنامه مدلر ۱۹-۹ انجام

شد که ساختار سوم آنزیم پس از بهینه سازی و کمینه سازی انرژی به صورت شکل ۱۰ قابل مشاهده است.

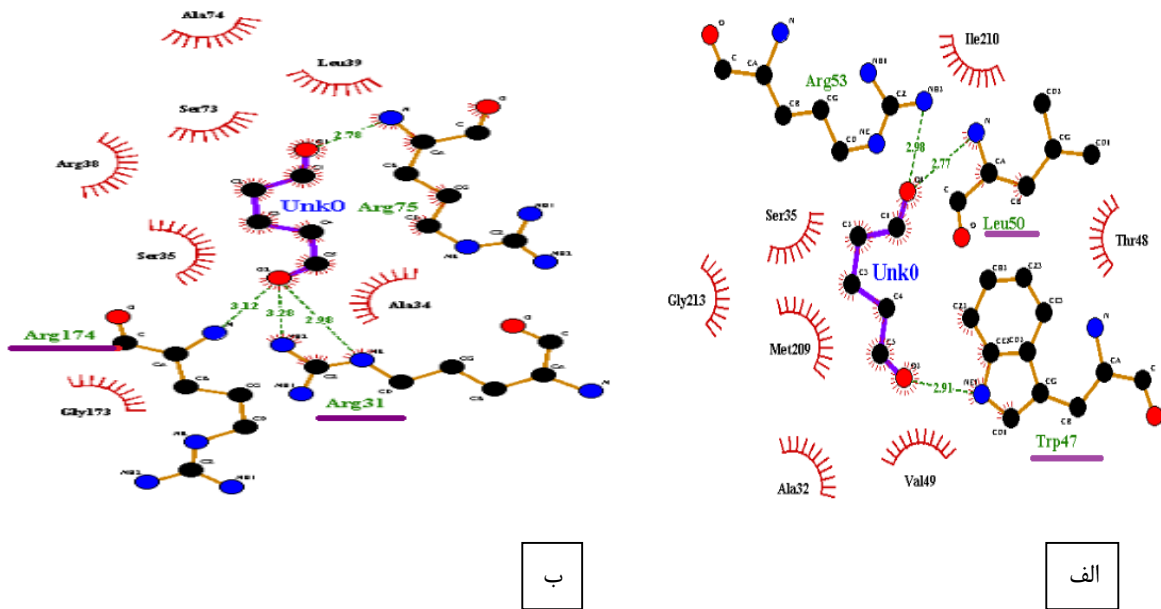


شکل ۱۰: (الف) کد Uniprot P80679 ایزوآنزیم پراکسیداز و (ب) کد Uniprot P59121 ایزوآنزیم پراکسیداز مدل سازی شده

بر اساس شباهت با الگو به وسیله برنامه مدلر ۱۹-۹ مشاهده شده در برنامه Swiss-PDB Viewer 4.1.0PDB

نتایج داکینگ آنزیم پراکسیداز و پپتیدسترنزی با گلوتارآلدهید: از بین ساختارهای ایجاد شده با استفاده از

برنامه اتوذاک و نرم افزار LigPlot رزیدوهايی که درگير پيوند هيدروژني و هيدروفوبی با آنزیم پراکسیداز هستند، مشخص شدند(شکل ۱۱).



شکل ۱۱: مشاهده آمينو اسيدهای درگیر دربرهم کنش گلوتارآلدهید و آنزیم پراکسیداز مدل سازی شده (الف) کد P80679 و (ب) کد P59121

پيش گويي آمينو اسيدهای جايگاه فعال مدل های ساخته شده: برنامه کوچ که جايگاه فعال را پيش گويي می کند، با روش TM-SITE و S-SITE جايگاه فعال را پيش گويي می کند. در جدول ۲ و ۳ به ترتيب احتمال آمينو اسيدهایی که ممکن است در جايگاه فعال آنزیم با کد P59121 و P80679 باشد، مشخص شده است.

جدول ۲: پيش گويي جايگاه فعال P59121 توسيط سرور کوچ

Rank	C-score	Ligname	Predicted binding site residue
1	0.81	HEM	31,34,35,38,41,73,139,140,141,148,152,163,166,169,170,172,173,174,175
2	0.64	BHO	38,41,42,68,69,139,141,179
3	0.63	FER	38,69,73,139,140,142,179
4	0.62	CA	171,222,225,228,230
5	0.59	ACT	38,41,42,139

C-score: ضریب اطمینان برای پیش گویی ساختار PDB است. این ضریب بین -۱ و ۰ است و هر چه عدد به ۱ نزدیک تر باشد نشان دهنده پیش گویی دقیق تر است.

PDB HIT: نشان دهنده کد پروتئین الگو می باشد.

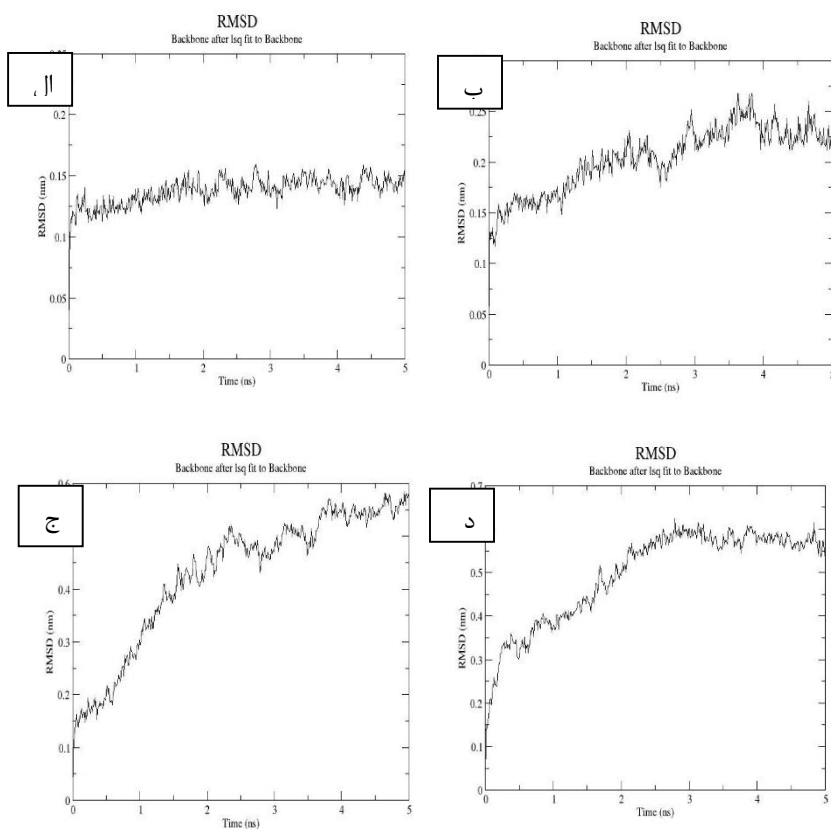
Ligname: نام لیگاند

Predicted binding site residues: پیش گویی جایگاه اتصالی لیگاند به آمينو اسيدها

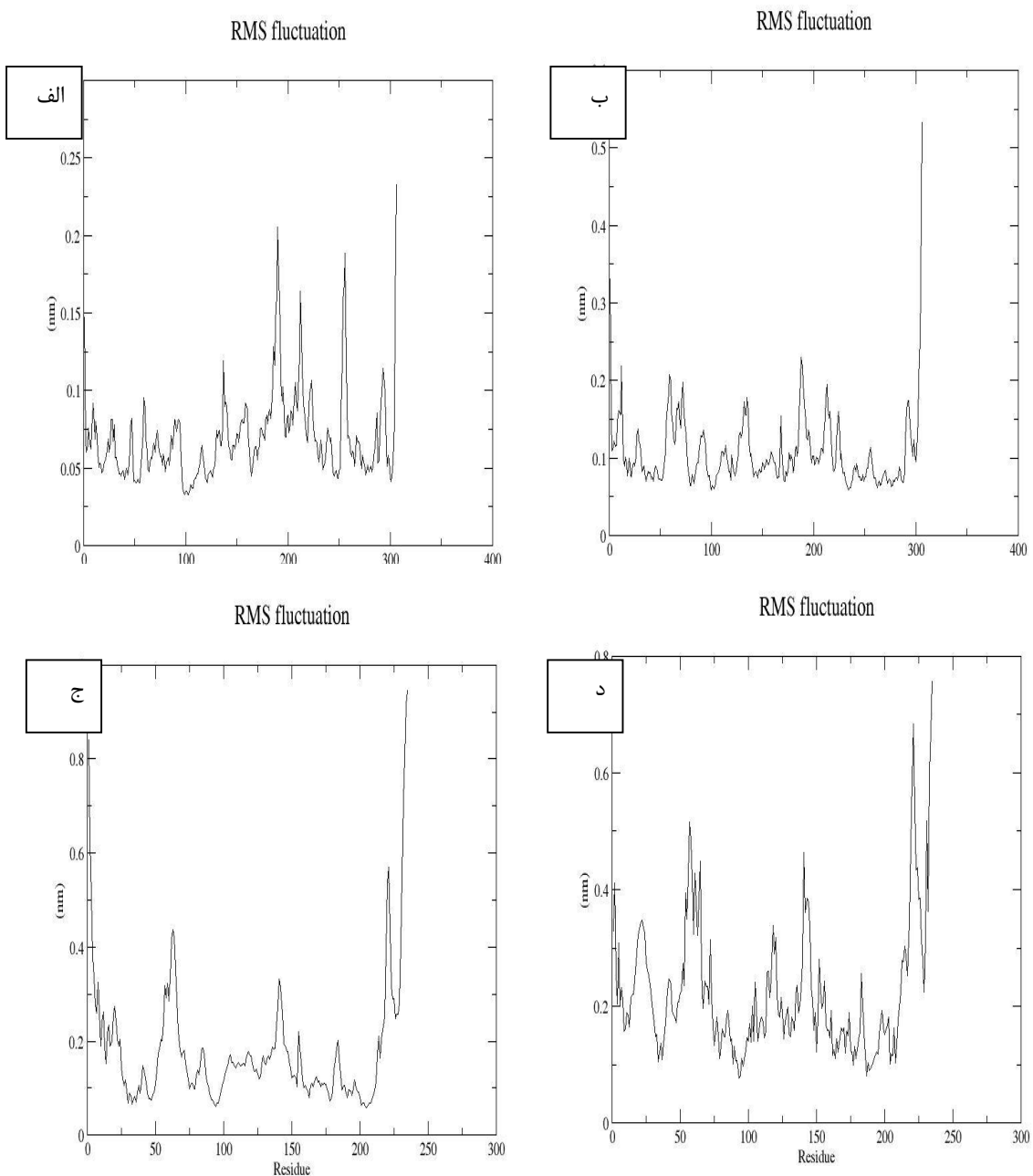
جدول ۳: پیش گویی جایگاه فعال P80679 توسط سرور کوج.

Rank	C-score	Ligname	Predicted binding site residues
1	0.97	HEM	34,35,37,38,41,139,140,141,148,152,166,167,169,170,172,173,174,175
2	0.21	BHO	38,41,42,68,69,139,140,141,179
3	0.12	26D	170,172,173,174,175,221,143,244,247
4	0.10	CA	171,22,225,228,230
5	0.07	CA	43,46,47,48,50,52

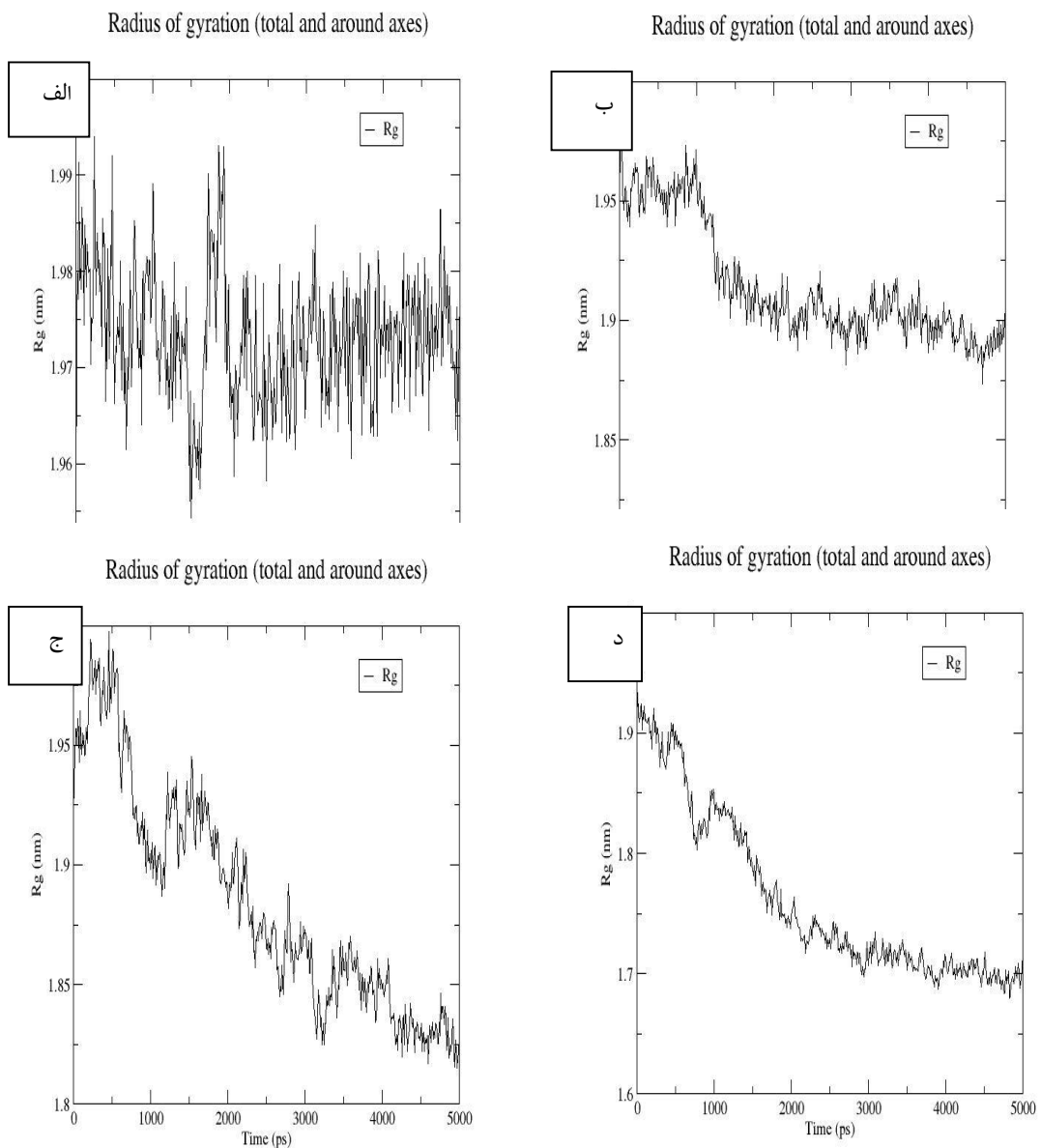
نتایج محاسبات شبیه سازی دینامیک مولکولی: با روش شبیه سازی دینامیک مولکولی و نرم افزار گرومکس در مدت زمان ۵ نانو ثانیه و دمای ۳۰ درجه سلسیوس مدل های ساخته شده آنزیم پراکسیداز و کمپلکس مدل های ساخته شده با گلوتارآلدهید بررسی شدند (اشکال ۱۲ تا ۱۵) که نشان داده شد آنزیم و نانو آنزیم در این مدت زمان پایدارند.



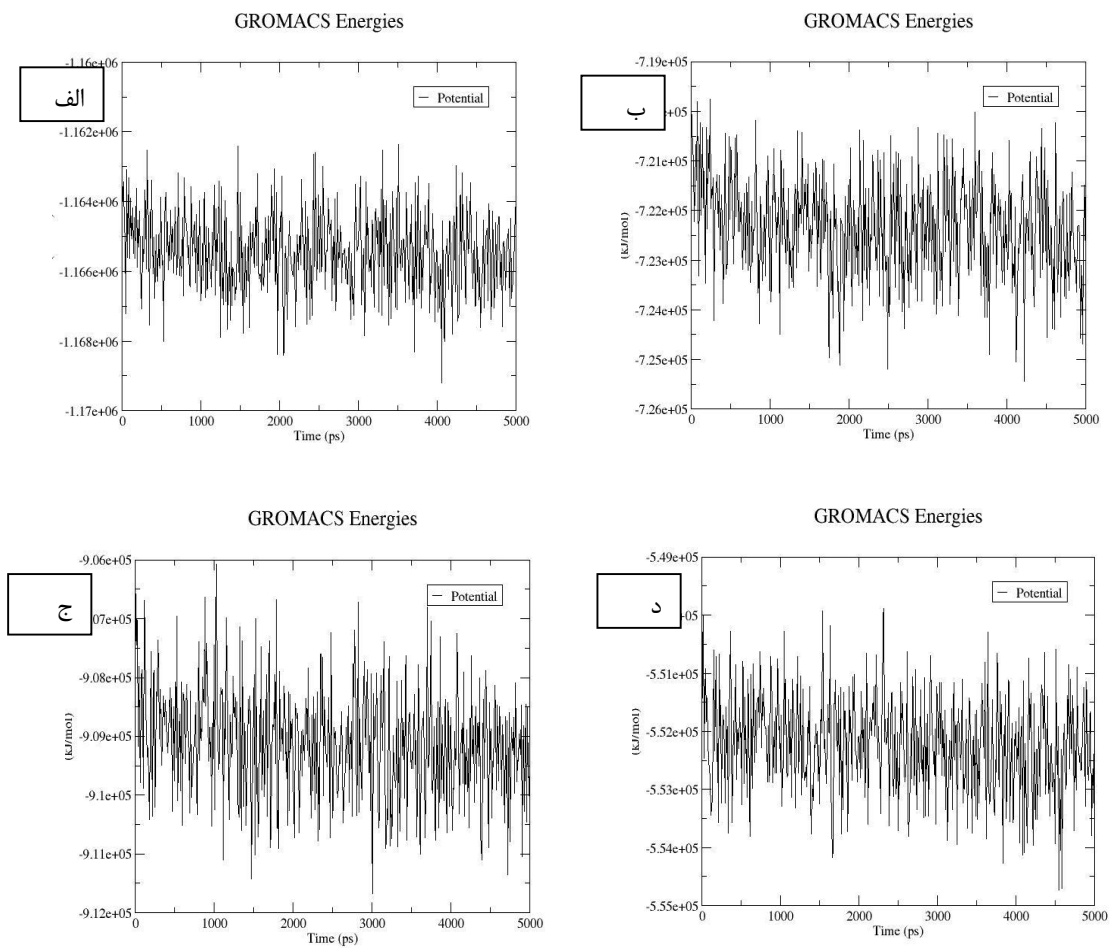
شکل ۱۲: نمودار RMSD مربوط به شبیه سازی در مدت زمان ۵ نانو ثانیه و دمای ۳۰ درجه سلسیوس برای ایزو آنزیم پراکسیداز. شکل (الف): مربوط به کد P59121 با گلوتارآلدهید. شکل (ب): مربوط به کد P80679 با گلوتارآلدهید. شکل (ج): مربوط به کد P80679 با گلوتارآلدهید.



شکل ۱۳: نمودار RMSF مربوط به شبیه سازی در مدت زمان ۵ نانو ثانیه و دمای ۳۰ درجه سلسیوس برای ایزو آنژیم پراکسیداز . الف: مربوط به کد P59121 . ب: مربوط به کد P80679 با گلوتارآلدهید . ج: مربوط به کد P59121 . د: مربوط به کد P80679 با گلوتارآلدهید



شکل ۱۴: نمودار  $R_g$  مربوط به شبیه سازی در مدت زمان ۵ نانو ثانیه و دمای ۳۰ درجه سلسیوس برای ایزو آنزیم پراکسیداز.  
الف: مربوط به کد P59121. ب: مربوط به کد P59121 با گلوتارآلدهید. ج: مربوط به کد P80679 با گلوتارآلدهید



شکل ۱۵: نمودار انرژی پتانسیل مربوط به شبیه سازی در مدت زمان ۵ نانوثانیه و دمای ۳۰ درجه سلسیوس برای ایزوآنژیم پراکسیداز . الف: مربوط به کد P59121. ب: مربوط به کد P80679 با گلوتارآلدهید. ج: مربوط به کد P80679 با گلوتارآلدهید

تجمعات پروتئینی کاربرد گسترده ای در حسگرهای زیستی (Qi *et al.*, 2004)، در طراحی بیوکاتالیزورهای حیاتی

(Ma *et al.*, 2016) و در تشخیص زیست پزشکی و درمان (Sripriyalakshmi *et al.*, 2014) دارند.

در این پژوهش ابزارهای زیست محاسباتی که تجمع پروتئین ها را بر اساس هیدروفوبیسته پیش گویی می کنند، بررسی شدند. بیشتر ابزارهایی که به منظور پیش گویی تجمع پذیری پروتئین استفاده می شوند، از توالی به عنوان ورودی استفاده می کنند؛ بنابراین نمی توانند ویژگی تجمع پذیری در پروتئین های کروی را بررسی کنند اما سرور Aggescan 3D با در نظر گرفتن ساختار پروتئین، نقاطی که مستعد تجمع پذیری هستند را پیش گویی می کند و این محدودیت را ندارد، (Zamberano *et al.*, 2015). با استفاده از این سرور می توان آمینو اسیدهایی که مستعد تجمع پذیری می باشند را جهش داد و حلالت آن ها را افزایش داد. این سرور نوسانات مکانیکی ساختار پروتئین در محلول را که می تواند بر روی تمايل تجمع پذیری پروتئین اثر بگذارد، بررسی

می‌کند. A3D Dynamic Mode از روش CABS Flex و دو روش ساخت نانو مواد در نانو فناوری برای شبیه سازی سریع

پروتئین‌های کروی استفاده می‌کند (Zamberano *et al.*, 2015) <http://biocomp.chem.uw.edu.pl/A3D/>

برای بررسی و ایجاد نانوذره پروتئینی، به دلیل امکان سنجش عملکرد، پروتئینی با خصوصیت آنزیمی انتخاب شد.

امتیاز تجمع پذیری آنزیم پراکسیداز با استفاده از سرور A3D ۱/۳۳ به دست آمد و به همین دلیل آنزیم پراکسیداز انتخاب شد زیرا امتیاز آنزیم پراکسیداز بالاتر از ۱ و نشان‌دهنده این است که پروتئین از نظر هیدروفوبیسته توانایی تجمع پذیری مناسب دارد.

اولین ویژگی مورد سنجش آنزیم پراکسیداز فعالیت آن بود، که جذب رنگ ایجاد شده ناشی از فعالیت آنزیم در ۴۲۰ نانومتر در مدت زمان ۳ دقیقه به فاصله هر ۳۰ ثانیه خوانده شد. در این پژوهش ویژگی‌های بیوشیمیایی آنزیم پراکسیداز قبل و بعد از نانوذره شدن مورد بررسی قرار گرفتند؛ آنزیم پراکسیداز خالص دارای دمای بهینه ۲۰ درجه سلسیوس و pH بهینه ۶ می‌باشد. با توجه به مطالعات پیشین (دهماهی ۲۰، ۲۵، ۴۰، ۶۰ و ۸۰ درجه سلسیوس برای بررسی پایداری دمایی انتخاب شدند (Koksal *et al.*, 2008). در هنگام بررسی پایداری دمایی برای فعالیت آنزیم پراکسیداز مشخص شد که آنزیم پراکسیداز پس از ۳۰ دقیقه قرارگیری در دمای ۲۵ درجه سلسیوس حداکثر فعالیت را نسبت به سایر دمایا دارد (شکل ۱) در صورتی که آنزیم در دهها ۶۰ و ۸۰ درجه سلسیوس در مدت زمان ۳۰ دقیقه حدود ۲۴ درصد فعالیت دارد.

به‌منظور بررسی پایداری فعالیت آنزیم در دمای ۸۰ درجه سلسیوس، محلول آنزیمی در دمای ۸۰ درجه قرار داده شد و سپس در زمان‌های ۳۰ دقیقه، ۱، ۱/۵ و ۲ ساعت قرار گیری در این دما، هر بار از آنزیم برداشته و بر روی یخ گذاشته شد تا شرایط برای همگی با شرایط آنزیم بدون تیمار دمایی یکسان باشد. پس از بررسی فعالیت باقی‌مانده آنزیم در دهها مختلف، از آنجا که مشخص شد آنزیم توانسته است پس از ۳۰ دقیقه قرار گیری در دمای ۸۰ درجه سلسیوس نزدیک به ۲۴ درصد فعالیت خود را حفظ کند، پایداری فعالیت آنزیم در دمای ۸۰ درجه سلسیوس تا ۲ ساعت مورد بررسی قرار گرفت (شکل ۲).

در این پژوهش برای بررسی پایداری فعالیت آنزیم در pH‌های مختلف، از بافر بریتون-رابینسون استفاده شد که بافری طیف وسیع است و بدین صورت فقط اثر pH بررسی می‌شود و نوع بافر در pH‌های مختلف تفاوت نمی‌کند؛ در حالی که در روند معمولی سنجش فعالیت آنزیم از بافر پتابسیم فسفات با pH استفاده شد. با بررسی که بر روی pH‌های مختلف برای فعالیت آنزیم در مدت زمان ۳۰ دقیقه انجام شد، مشخص گردید که فعالیت باقی‌مانده آنزیم در pH ۴ حدود ۷۵ درصد می‌باشد. در حالی که در pH‌های ۲، ۶ و ۸ فعالیت باقی‌مانده آنزیم به ترتیب حدود ۹ درصد، ۲۶ درصد و ۱۰ درصد می‌باشد (شکل ۳). بعد از بررسی این خصوصیت‌ها، آنزیم پراکسیداز با استفاده از روش Desolvation و با استفاده از گلوتارآلدهید تبدیل به نانوذره شد (Liu *et al.*, 2005) و بررسی‌های FESEM نشان داد؛ نانوذرات قطری حدود ۵۰۰ نانومتر دارند.

سنجدش فعالیت آنزیم نانو شده مانند سنجش فعالیت آنزیم مونومر در  $pH = 6$  و دمای  $20^\circ C$  در طول  $420$  نانومتر انجام شد. جذب این آنزیم در مدت زمان  $3$  دقیقه به فاصله هر  $30$  ثانیه در این طول موج خوانده و مشاهده شد؛ نانوذره آنزیم جذب کمتری در مقایسه با آنزیم مونومر دارد در صورتیکه انتظار می رفت که آنزیم نانو شده به دلیل جایگاههای فعال بیشتر نسبت به آنزیم مونومر فعالیت بیش تری از خود نشان دهد. البته این کاهش جذب می تواند به دلیل تجمعات پروتئینی نیز باشد.

در این پژوهش بعد از تولید نانو ذره، دمای بهینه فعالیت آن به دست آمد. برای به دست آوردن دمای بهینه با توجه به اینکه محلول سنجش فعالیت آنزیم مونومر به مدت  $10$  دقیقه در دمای  $20^\circ C$  درجه سلسیوس قرار می گیرد، برای بررسی دمای بهینه فعالیت نانوآنزیم پراکسیداز محلول سنجش فعالیت به ترتیب  $10$  دقیقه در دماهای  $20^\circ C$ ،  $25^\circ C$ ،  $30^\circ C$  و  $35^\circ C$  درجه سلسیوس قرار گرفت. همان طور که در شکل ۴ مشاهده می شود در دمای  $30^\circ C$  درجه سانتی گراد آنزیم فعالیت نسبی بیشتری نسبت به سایر دماها دارد. بررسی فعالیت نانوآنزیم در دماهای مختلف نشان داد دمای بهینه فعالیت نانوآنزیم  $30^\circ C$  درجه سلسیوس است که این دما از دمای آنزیم های مونومر بالاتر بود. دلیل احتمالی این موضوع می تواند به دلیل تاخوردگی بیشتر ساختار نانوآنزیم نسبت به آنزیم مونومر باشد و در دمای بالاتر جایگاه فعال بیشتری از نانوآنزیم در معرض سوبسترا قرار می گیرد (Chattopadhey & Mazumdar., 2006).

با بررسی که بر روی pH های بهینه برای فعالیت آنزیم در هر یک از این بافرها انجام گرفت، مشخص شد که فعالیت آنزیم در بافر سنجش با  $pH = 7$  بیش تر از فعالیت در همان بافر با  $pH = 6$  است (شکل ۵). در حالی که آنزیم مونومر در pH بهینه  $6$  دارای بیش ترین فعالیت بود. دلیل احتمالی این موضوع تغییر در بار سطحی آنزیم به هنگام نانو شدن می باشد.

بررسی پایداری دمایی فعالیت نانوآنزیم پراکسیداز نشان داد نانوآنزیم مانند آنزیم مونومر پس از قرار گیری در دمای  $25^\circ C$  درجه سلسیوس در مدت زمان  $30$  دقیقه بیشترین فعالیت را نسبت به سایر دماها دارد (شکل ۶).

فعالیت آنزیم در لحظه صفر در دمای  $30^\circ C$  درجه سلسیوس،  $100$  درصد است اما وقتی  $30$  دقیقه در این دما می ماند فعالیت آن به  $160$  درصد افزایش می یابد که این می تواند به خاطر اثر فراینده دما در سرعت انجام واکنش باشد فعالیت آن به  $160$  درصد افزایش می یابد که این می تواند به خاطر اثر فراینده دما در سرعت انجام واکنش باشد (Chattopadhey & Mazumdar., 2006) نانوآنزیم در دمای  $80^\circ C$  درجه سلسیوس  $47$  درصد فعالیت خود را حفظ می کند، در صورتی که آنزیم در این دما  $24$  درصد فعالیت خود را حفظ می کند که نشان دهنده پایدار شدن نانوآنزیم نسبت به مونومر آنزیمی می باشد. دلیل این موضوع می تواند این باشد که نانوآنزیم نسبت به آنزیم دارای تاخوردگی بیشتری است و نشان دهنده پایداری بیشتر نانوآنزیم است.

بررسی فعالیت نانو آنزیم در اسیدیته های مختلف نشان داد نانوآنزیم در  $4\text{ pH}$  دارای پایداری بیشتری نسبت به سایر pH ها بود. مقایسه پایداری pH آنزیم نانو شده و آنزیم مونومر نشان می دهد که هر دو در محیط اسیدی پایداری بیشتری نشان دادند.

با بررسی هایی که توسط میکروسکوپ الکترونی FESEM صورت گرفت، مشاهده شد که این نانوذرات اندازه ای حدود ۵۰۰ نانومتر دارند (شکل ۸). برای بررسی قطر هیدرودینامیکی و پراکندگی نانوذرات از آلتیز DLS استفاده شد. نانوذرات دارای قطر هیدرودینامیکی  $547/87$  نانومتر و مقدار شاخص پراکندگی ذرات  $2/07$  به دست آمد که نشان دهنده پراکندگی بالای نانوذرات می باشد (شکل ۹).

سنجهش فعالیت نانوآنزیم نشان داد که فعالیت آن در دمای  $20^\circ\text{C}$  درجه سانتی گراد و  $7\text{ pH}$  کم شده است. به علت کم شدن فعالیت آنزیم بررسی های زیست محاسباتی بر روی ایزوآنزیم های پراکسیداز قبل و بعد از نانو شدن انجام گرفت. با توجه به اینکه آنزیم پراکسیداز در آزمایشگاه توسط گلوتارآلدهید به نانوآنزیم تبدیل شد، در بررسی های محاسباتی، داکینگ این آنزیم با گلوتارآلدهید بررسی گردید. در داکینگ به علت تغییر طول پیوند و زاویه پیوند حالت های مختلف وجود دارد که بهترین حالت برای بررسی های بعدی انتخاب شد. نتایج داکینگ مدل های پروتئینی ساخته شده در نرم افزار لیگ پلات نشان داد که در مورد کد P59121 آمینو اسید آمینو اسید های 31 Arg، 75 Arg و 174 Arg در پیوند هیدروژنی با گلوتارآلدهید نقش داشتند. آمینو اسید آمینو اسید های 35 Ser، 39 Leu، 38 Arg، 34 Ala، 73 Ser و 47 Trp در بر هم کنش هیدروفوبیک دیده می شوند (شکل ۱۱. ب). در مورد کد P80679 آمینو اسید آمینو اسید های درگیر در پیوند هیدروژنی با گلوتارآلدهید Arg ۵۳ Val و ۴۹ Lue در ۲۰۹ Met، Gly ۲۱۳ Ile ۲۱۰، Thr ۴۸، Ser ۳۵، ۳۴ Ala و ۳۲ Ala بودند. آمینو اسید آمینو اسید های ۴۷ Trp، ۵۰ Lue و ۵۳ Val در جایگاه فعال آنزیم مورد بررسی قرار گرفت. همانطور که نتایج در جدول ۲ و ۳ نشان می دهد گلوتارآلدهید با اتصال به این آمینو اسید آمینو اسید ها در جایگاه فعال آنزیم می تواند سبب کاهش فعالیت نانو آنزیم شود.

در این پژوهش برای انجام شبیه سازی دینامیک مولکولی دو ایزوآنزیم پراکسیداز در دمای بهینه  $30^\circ\text{C}$  درجه سلسیوس و  $\text{pH} 7$  بهینه و پیتید در دما و pH که نانوذره پروتئینی سنتز شد، قرار گرفتند. محاسبات RMSD و انرژی پتانسیل به ترتیب در نمودار ۱۲ و ۱۵ نشان دهنده پایداری سیستم در طول شبیه سازی است. محاسبات RMSF (شکل ۱۳) نشان دهنده بخش های انعطاف پذیر در پروتئین در طول زمان است که نمودارها نشان می دهند در مورد آنزیم الگوی رفتاری انعطاف پذیر پروتئین در حالت تنها و در حالت کمپلکس با گلوتارآلدهید شبیه به هم بوده است. محاسبات Rg (شکل ۱۴) نشان دهنده پایداری ساختار سه بعدی در طول شبیه سازی می باشد. آنزیم در حالت اتصال به گلوتارآلدهید بعد از ۱ نانو ثانیه کاهش محسوسی در Rg نشان

داد که گویای این موضوع است که سیستم به علت تشکیل نانوآنزیم دارای تاخوردگی بیشتری شده و  $R_g$  کاهش یافته، که در طول زمان این کاهش ثابت باقی می‌ماند.

## نتیجه گیری

در نانوفاوری برای ساخت نانوذرات پروتئینی از ویژگی تجمع پذیری پروتئین‌ها استفاده می‌شود. عوامل ذاتی مانند میانکنش‌های هیدروفوب بین اتم‌ها، ساختارهای آمیلوبئیدی و coil هم چنین استفاده از واسطه‌هایی مانند آپتامرها و کراس لینک‌ها و غیره می‌توانند باعث تجمع پذیری پروتئین‌شوند و با استفاده از ابزارهای زیست محاسباتی می‌توان این عوامل را بررسی کرد. در این پژوهش تجمع پروتئین‌ها بر اساس ویژگی آب‌گریزی آن‌ها مورد بررسی قرار گرفت. بدین منظور از ابزار زیست محاسباتی 3D Aggrescan استفاده شد. با استفاده از این سرور ابتدا پروتئین‌هایی به عنوان کنترل بررسی شدند. سپس امتیاز آنزیم پراکسیداز با این سرور بررسی شد و با امتیاز پروتئین‌های کنترل مقایسه گردید. آنزیم پراکسیداز دارای امتیاز قابل قبول و به عنوان کاندیدا انتخاب شد. خصوصیات بیوشیمیایی این آنزیم قبل و بعد نانو شدن مورد بررسی قرار گرفت. سپس پراکسیداز به کمک کراس لینک با گلوتارآلدهید به نانوذره تبدیل شد. نتایج FESEM و DLS این قضیه را تایید کردند. آنزیم پراکسیداز دارای دمای بهینه ۲۰ درجه سانتی گراد و  $pH = 6$  بهینه می‌باشد. در صورتی که نانوآنزیم پراکسیداز در دمای بالاتر (۳۰ درجه سانتی گراد) و pH خنثی فعالیت می‌کرد. هر دو در محیط اسیدی پایداربودند و هر دو در ۲۵ درجه سانتی گراد در مدت زمان ۳۰ دقیقه بیشترین فعالیت خود را داشتند.

با استفاده از شبیه سازی دینامیک مولکولی پایداری دو ایزوآنزیم که وزن مولکولی مشابه با پراکسیداز داشتند، در محیط *in silico* مورد بررسی قرار گرفت. نتایج نشان دادند که هم آنزیم مونومر و هم نانوآنزیم در دمای ۳۰ درجه سانتی گراد و مدت زمان ۵ نانوثانیه نسبتاً پایدار هستند ولی گلوتارآلدهید با اتصال آمینو اسیدهایی در جایگاه فعال آنزیم می‌تواند سبب کاهش فعالیت نانو آنزیم شود که عملاً نیز ثابت شد.

## منابع

- Amdursky, N., Molotskii, M., Gazit, E., & Rosenman, G. (2010). Elementary building blocks of self-assembled peptide nanotubes. *J Am Chem Soc*, 132(44), 15632–15636. <https://doi.org/10.1021/ja104373e>
- Chattopadhey, K and Mazumdar, S. (2006). Structural and conformation stability of horseradish peroxidase effect of temperature and pH. *Biochemistry*, 39(1), 263–270, <https://doi.org/10.1021/bi990729o>
- Feverati, G., Achoch, M., Zrimi, J., Vuillon, L., & Lesieur, C. (2012). Beta-strand interfaces of non-dimeric protein oligomers are characterized by scattered charged residue patterns. *PLoS ONE*, 7(4), e32558. <https://doi.org/10.1371/journal.pone.0032558>
- Klaessig, F., Marrapese, M., & Abe, S. (2011). Nanotechnology Standards. <https://doi.org/10.1007/978-1-4419-7853-0>

- Liu, G., Lin, Y., Ostatná, V., & Wang, J. (2005). Enzyme nanoparticles-based electronic biosensor. *Chemical Communications* (Cambridge, England), (27), 3481–3483. <https://doi.org/10.1039/b504943a>
- Luo, Q., Hou, C., Bai, Y., Wang, R., & Liu, J. (2016). Protein Assembly: Versatile Approaches to Construct Highly Ordered Nanostructures. *Chemical Reviews*, 116(22), 13571–13632. <https://doi.org/10.1021/acs.chemrev.6b00228>
- Lenga, Robert E. (1988). The Sigma-Aldrich library of chemical safety data. [Milwaukee, Wis., USA] :Sigma-Aldrich Corp.
- Philo, J., & Arakawa, T. (2009). Mechanisms of Protein Aggregation. *Current Pharmaceutical Biotechnology*, 10(4), 348–351. <https://doi.org/10.2174/138920109788488932>
- Qi, K., Ma, Q., Remsen, E. E., Clark, C. G., & Wooley, K. L. (2004). Determination of the bioavailability of biotin conjugated onto shell cross-linked (SCK) nanoparticles. *Journal of the American Chemical Society*, 126(21), 6599–6607. <https://doi.org/10.1021/ja039647k>
- Selkoe, D. J. (2003). Folding proteins in fatal ways. *Nature*, 426(6968), 900–904. <https://doi.org/10.1038/nature02264>
- Sripriyalakshmi S, Jose P, Ravindran A, et al. Recent trends in drug delivery system using protein nanoparticles. *Cell Biochem Biophys*. (2014); 70:17–26.
- Yan, X., Zhu, P., & Li, J. (2010). Self-assembly and application of diphenylalanine-based nanostructures. *Chemical Society Reviews*, 39(6), 1877-1890. <https://doi.org/10.1039/b915765b>
- Zambrano, R., Jamroz, M., Szczasiuk, A., Pujols, J., Kmiecik, S., & Ventura, S. (2015). AGGRESCAN3D (A3D): Server for prediction of aggregation properties of protein structures. *Nucleic Acids Research*, 43(W1), W306–W313. <https://doi.org/10.1093/nar/gkv359>

## Characterization and nanoparticle synthesis of peroxidase by computational and experimental methods

Sh. Fooladband<sup>1</sup>, P. Ghadam<sup>2\*</sup>, M. Zarrabi<sup>3</sup>

Received: 2019.7.17

Accepted: 2019.12.7

### Abstract

Nano protein structures can be formed by the intrinsic ability of molecular self-assembly or via intermediates which improve their assembly. Hydrophobicity is the most important factor among the other intrinsic self-assembly factors and the other intermediates such as glutaraldehyde may lead to protein-assembly and nanoparticles formation. In this study, Aggescan 3D software was employed to investigate protein self-assembly properties. Peroxidase enzyme was selected to form protein nanoparticle, and glutaraldehyde changed it to a nano enzyme. FESEM and DLS analysis represented that the average size of nano enzyme is about 500 nanometers. Comparing biochemical properties of peroxidase enzyme before and after changing into nano, showed that the activity of nano enzyme at 20°C, pH 7 has decreased as compared to the monomeric enzyme. Based on homology, the PDB structure of two peroxidase enzyme was identified. Then, the connection between glutaraldehyde and two peroxidase enzymes was detected. Enzyme residues with hydrogen binding connections to glutaraldehyde were also detected by using LigPlot software and the residues in active side of enzyme were determined by COACH server. Glutaraldehyde is connected to residues in active siteof the enzyme. Molecular dynamic Simulation was performed in the time duration of 5 nanoseconds and 30°C and it showed that monomer enzyme and nano enzyme are both stable in this time duration and temperature.

**Keywords:** Biocomputational methods, Aggregation, Nano peroxidase enzyme.

---

1- M.Sc., Department of Biotechnology, Faculty of Life Sciences, Al-Zahra University, Tehran, Iran

2- Associate Professor, Department of Biotechnology, Faculty of Life Sciences, Al-Zahra University, Tehran, Iran

\*(corresponding author: pghadam@alzahra.ac.ir )

3- Associate Professor, Department of Biotechnology, Faculty of Life Sciences, Al-Zahra University, Tehran, Iran